

叢譯膠膠橡

第三輯

上海橡膠工業制品研究所主編
上海市科學技術編譯館

目 录

1. 卡普隆織物-橡胶的配方工艺特性和它的性能	1
2. 輪胎帘線的疲劳性能研究	5
3. 人造絲和尼龙以外的新型胎体材料	16
4. 滌綸纖維在橡胶工业中的应用	23
5. 玻璃織物-橡胶制品的特性与配方技术	28
6. 在帘布浸漬过程中影响浸漬质量的一些工艺因素	32
7. 浸漬用合成树脂的分子官能团对帘線性能的影响	37
8. 提高各种橡胶与各种纤维密着力的方法	40
9. 胶粘剂性质对帘布-胶粘剂-橡胶体系密着力影响的研究	44
10. 乳胶浸漬中間苯二酚-甲醛溶液制备的快速方法	50
11. 合成乳胶与天然乳胶	52
12. 丁苯乳胶海綿的性能	58
13. 天然乳胶浸漬制品的工艺与制造	62
14. 天然乳胶浸漬制品的加工工艺	63
15. 合成橡胶用軟化剂	67

1. 卡普隆織物-橡胶的配方工艺特性和它的性能

М. Г. Майзельс, В. Г. Раевский 等

卡普隆正在使橡胶-織物材料的技术应用領域大大扩大。以卡普隆为基础可以制造在常压或剩压下工作的大型设备，贮存和运输各种介质的容器和贮槽，大长度的弹性管道，各种工业部門用的特种工作服，强度和气密性高的隔膜，薄膜和垫片，以及其他許多制品。

用卡普隆織物代替棉織物可以得到强度更高和重量更輕的橡胶-織物材料。此外，依靠卡普隆的疏水性、对腐蚀的高度稳定性、动荷强度、耐磨性、化学稳定性和其他宝贵的性能，在许多情况下可以显著地提高材料的使用质量和使用寿命。

本文列举了应用卡普隆(用粘附剂浸漬，用胶浆涂胶，压延，硫化)的配方工艺特性和以它为基础的橡胶-織物材料的性能。

应用卡普隆織物的 配方工艺特性

用粘附剂浸漬

由于卡普隆織物对橡胶涂层的粘附力弱，因此

不管橡胶-織物材料的制造方法如何，最好在涂橡胶涂层之前将卡普隆織物加以浸漬。

曾經檢驗用不同类型合成树脂浸漬卡普隆的效果(表 1)。

由表中可以觀察到：在所有情况下，密着力最高的是用 89 号树脂浸漬的卡普隆；而对于非极性橡胶(天然橡胶、聚异戊二烯、丁鈉、丁基橡胶)來說，则用 ПЭМ-2 树脂浸漬。

考慮到 ПЭМ-2 树脂对于密着力有選擇必要并且要用到价格貴昂和有毒的物品作为溶剂(乙醇和丙酮 1:1 的混合液)；因此，对于卡普隆織物來說，最好采用 89 号环氧胺树脂的水溶液来浸漬。在最好的条件下，浸漬几乎不影响卡普隆的强度。

在浸漬机上浸漬卡普隆时，必須在約 30 米/分钟的速度下进行，然后于 120°~130°C 下在轉鼓上干燥。过量树脂溶液的除去，用挤水輶在 1~1.2 大气压的空气压力下进行。

用 89 号树脂浸漬，可以显著提高織物部件的剥离强度(表 2)。

表 1 用各种合成树脂浸漬卡普隆織物对它与橡胶涂层密着力的影响

(压延过的織物，1520 号卡普隆)

涂层中的橡胶类型	浸 漬 用 的 树 脂 类 型					
	未 浸 漬	羟甲基-聚酰胺树酯 ПФ32/10	聚酰胺-环氧树脂 ПЭМ-2	89 号环氧胺树脂	三聚氰胺-聚酰胺树脂 ПФМ-12	脲醛树脂 МФФ
烟片.....	0.7	0.8	2.0	3.0	0.7	0.9
聚异戊二烯.....	0.6	0.7	1.8	3.0	0.7	0.8
丁鈉-35.....	0.4	0.6	0.9	3.0	0.6	0.5
氯丁.....	0.9	0.9	1.0	3.6	0.9	0.9
丁腈-18.....	0.5	0.5	0.6	2.3	0.5	0.5
丁腈-26.....	0.6	0.6	0.6	3.5	0.6	0.6
丁苯-30A.....	0.5	0.5	0.7	1.5	0.5	0.5
丁苯-30-I.....	0.6	0.6	0.6	1.4	0.6	0.6
丁苯-30APM-15.....	1.5	1.5	1.6	3.0	1.5	1.5
丁苯-30AM-33.....	0.3	0.4	0.5	1.4	0.4	0.3
甲基乙烯基吡啶-15.....	0.6	0.6	1.2	3.0	0.7	0.6
聚戊二烯-[1, 3].....	1.9	2.0	2.0	3.0	2.3	1.6
丁基橡胶.....	1.5	2.5	2.6	2.0	1.5	1.5

表2 用89号树脂浸渍对于涂胶浆的卡普隆材料剥离强度的影响

涂层中的橡胶类型	剥离强度(公斤/厘米)	
	未浸渍	用89号树脂浸渍
烟片	0.6	1.5
聚异戊二烯	0.3	1.0
丁钠	0.4	1.6
丁苯-30A	0.5	1.0
丁苯-30AM-33	0.2	0.8
丁苯-30-1	0.3	0.8

曾經將卡普隆浸漬之後經過不同時間(由2小時至6個月)所制成的橡膠-織物部件的密着力進行對比試驗。橡膠涂层與卡普隆織物密着力的數值幾乎沒有區別。

用胶浆涂胶

在實際製造用胶浆涂胶的材料中，用得最廣的是1516號、1520號類型的輕薄卡普隆織物。涂胶過程的工藝參數取決於胶浆潤濕卡普隆纖維的特性。

表3中列舉了以各種橡膠為基礎的無填料胶浆潤濕卡普隆織物的速度值(與其他紡織材料對照)。潤濕速度表示胶浆水滴在織物上充分地自動流散所需的时间*。

表3 以各種橡膠為基礎的胶浆潤濕
紡織材料的對照速度

織物類型	胶浆的基礎				
	丁基 橡膠	天然 橡膠	戊二烯 [1, 3] 橡膠	丁鈉 -35	丁苯 -30A
	潤濕速度，秒				
Перкаль А	40	50	120	160	180
1520號卡普隆	100	130	160	220	260
9-0, 1號玻璃布	180	180	240	270	280

與棉織物相比較，卡普隆更有潤濕的抑制性，這就使得其涂胶速度略微慢一些。最好的涂胶速度為12~15米/分鐘。卡普隆涂胶用的胶浆，其濃度與涂玻璃布所用的几乎一樣。

與棉織物相比較，卡普隆與未硫化胶浆薄膜的粘着強度較低(表4)。

表4 天然胶的胶浆薄膜与各种織物的粘着性

織物類型	Бер附着力 (克/厘米)	剝離力A (爾格/厘米 ²)
Перкаль Б	250	42.9·10 ⁴
1516號卡普隆	220	27.1·10 ⁴
1520號卡普隆	200	27.0·10 ⁴
玻璃布	175	24.6·10 ⁴

胶浆薄膜與卡普隆的附着力比較低，這可能成為未硫化涂层剝離和在硫化時涂层向織物反面轉移的原因。因此，在涂胶之後必須將材料仔細地涂粉，而且在許多情況下(特別是對於丁基橡膠、天然橡膠來說)在硫化之前還必須將材料直接進行再次涂粉。

压延

由於卡普隆纖維表面系數低，尤其是因為橡膠與卡普隆織物的接觸面積小，因此材料的壓延必須在能保證涂层最大限度深度滲透到紡織品結構中的條件下進行。這對於大多數橡膠來說，可以用提高壓延溫度(與織物所採用的壓延溫度相比較)的方法來達到。

卡普隆織物的壓延溫度條件與玻璃布所採用的相似。

儘管卡普隆有疏水性，壓延前仍必須將它干燥。當濕度高時，用擦膠法塗上去的膠量會顯著降低；擦膠的均勻性也被破壞。

濕度高的卡普隆貼膠時，它與橡膠的密着力顯著下降，因而導致在壓延和硫化時發生剝離現象。

硫化

卡普隆的低熔點(215~220°C)限制了高溫過程中的應用。這些材料，最好在硫化罐和硫化室中硫化；製造具有高度完整性和表面光滑的織物時，則在“Версторф”型設備中硫化最為適宜。

硫化條件不僅影響橡膠涂层的性能，而且影響涂层與卡普隆的密着力。在大多數情況下，可以觀察到：當硫化時間增加時密着力就逐漸下降，當硫化時間縮短時，就不能達到橡膠涂层所需的強度。因此，在工藝實踐中硫化橡膠-織物材料通常所採用的時間條件為30~60分鐘(在143°C)。

以卡普隆為基礎的橡膠-織物材料的性能

機械性能

與相應的以玻璃布為基礎的材料相比較，則可

* 資料是將映射在銀幕上的胶浆水滴($\eta=14$ 泊)用放大攝影的方法獲得的。

以看出以卡普隆为基础的橡胶-织物材料的强度特性受到橡胶涂层组成的影响很小。涂敷用水抽取物 pH 值小于 7 的橡胶(氯丁、丁苯-30-1)制成的涂层材料,其强度下降的程度最大。不管涂层中橡胶类型如何,橡胶-织物材料的抗撕裂强度都比原始的卡普隆织物低得多。这种下降现象是由于涂敷橡胶涂层之后,丝的灵活性受到了限制而引起的。

抗撕裂强度值的大小强烈地依赖于原始织物的组织类型。按照抗撕裂强度的绝对值,可将各种不同组织的卡普隆织物排列为:方平组织>斜纹组织>平纹组织。

以卡普隆为基础的材料,其机械性能的特点是在断裂时的相对伸长率高,达 25%~30%。

对于卡普隆来说,在很大程度上变形是可逆的(总伸长率的 30%~40%);但是在橡胶-织物材料中,由于橡胶渗透到织物间的组织中,并且织物的结构固定了,可逆变形的可能性就受到了限制。因此,对于用胶浆涂胶特别是压延过的材料来说,经线和纬线的伸长率关系是向降低经线伸长率的方向变化(与原始织物相比较)。

抗剥离强度

橡胶-织物材料重要的结构特性是抗剥离强度及其温度关系。以卡普隆为基础的橡胶-织物材料,其抗剥离强度随着温度的升高而下降。这是由于橡胶-织物分界层中分子间的相互作用减弱和涂层本身的强度降低而引起的。

然而,在使用温度范围内的(由 -40° 至 +50°C)材料抗剥离强度仍很高。

耐磨强度

以卡普隆为基础的橡胶-织物材料,其耐磨强度是取决于涂层的机械强度和涂层与卡普隆附着力的大小。

应用浸过 89 号树脂的卡普隆织物,可使耐磨强

度提高 1~3 倍。由于这个缘故,即使采用耐磨强度比较低的橡胶,仍可获得具有高耐磨性能的以卡普隆为基础的橡胶-织物材料。

对腐蚀性介质的稳定性

与以棉织物和玻璃布为基础的类似材料相比,卡普隆橡胶-织物材料对腐蚀性介质的稳定性较高。

以涂敷各种橡胶(丁腈、氯丁、甲基乙烯基吡啶橡胶、丁基橡胶与聚氯乙烯并用)的卡普隆织物为基础,可以获得下列腐蚀性介质很稳定的材料:即耐汽油、石蜡油、煤油、苯、机油、汽车润滑油、苯酚、丁醇、戊醇、丙酮、碱和稀酸类材料。在直接接触上述液体介质 24 小时的条件下,未发现材料的外观和状态有变化。

浓酸类对由卡普隆制成的材料有强烈的作用。例如:42% H₂SO₄ 的作用,会引起材料刚性急剧增大;在 85% H₂SO₄ 的作用下,经过 24 小时后橡胶-织物材料被破坏了。可是,以棉织物(粗平布)为基础的类似材料只经过 6 小时早就被破坏了。

液体汽油渗透性的快速对照试验证明:在结构相似的条件下,以卡普隆为基础的织物(涂层为丁苯-30 与氯丁并用)经 130 分钟后可以看到有汽油渗漏现象;而以粗平布为基础的织物其渗漏时间却要早得多(平均经过 56 分钟)。

老化

以卡普隆为基础的橡胶-织物材料,其耐热老化性比以棉织物为基础的类似材料稍微高一些,但是远不如玻璃布和其他化学材料好。

实际上,卡普隆材料可在不高于 150°C 的温度下使用。

表 5 为 150°C 热老化过程中涂敷丁基橡胶涂层而以卡普隆和其他纤维为基础的橡胶-织物材料物理机械指标变化数据。

表 5 涂敷丁基橡胶涂层的橡胶-织物材料热老化情况(温度为 150°C)

织物类型	试样的物理机械指标							
	原 始 的		经以下时间老化后					
			100 小时		200 小时		强度(公斤)	
	强度(公斤)	伸长率(%)	强度(公斤)	伸长率(%)	强度损失(%)	强度(公斤)	伸长率(%)	强度损失(%)
Перкаль Б	28	7	10	4	65	6	5	71
1516 号卡普隆	45	26	30	15	33	20	15	55
1520 号卡普隆	135	28	85	21	37	57	15	58
3-0, 1 号玻璃布.....	70	6	70	6	—	70	6	—

在100°C热老化的条件下，涂敷丁基、丁钠、丁苯和丁腈橡胶涂层的卡普隆材料经过200小时老化后，其性能几乎没有变化。

卡普隆是所有化学纤维中光老化稳定性最低的一种，因此，在自然老化条件下光是破坏卡普隆材料的基本因素。因而，不容许在大气条件下使用表面不用橡胶涂层保护的以卡普隆为基础的橡胶-织物材料。

用环己胺树脂浸渍卡普隆织物，在自然老化过程中不会使强度有所变化，并能够保持织物结构部件更高的附着性。采用由耐光橡胶制成的防护涂层和滤光着色剂（炭黑类型），在大气作用的条件下可以保证材料长期使用。这种材料经过250昼夜的自然露光之后，其强度损失不超过原始强度的12%~15%。将材料在受应力的状态下露光，则其老化作用的强度增加（在同样时间内，其强度损失为8%~22%）。

介电性能

卡普隆织物具有比棉织物更高的介电性能。以卡普隆为基础的涂胶织物相应的抗电强度要比由Перкаль*制成的织物高1~3倍。如果单层涂胶的Перкаль的击穿电压为9~10千伏/毫米，而双层涂胶的为12~14千伏/毫米；对于相应的卡普隆材料来说，这些数值则相应地各为15~20和30~45千伏/毫米。

卡普隆橡胶-织物材料的特征是在不用橡胶涂层保护面上的面电荷电场强度很高，在这种情况下产生的电荷，其数值在个别情况下可达到2,000~3,000伏。将周围介质的相对湿度由32%提高到98%时，则电荷强度将降至 $\frac{1}{50} \sim \frac{1}{40}$ [由500~600伏（当湿度为32%时）至10~15伏（当湿度为65%时）]。

当相对湿度为65%时，以1516号卡普隆为基础的双层涂胶织物（内层是由非极性橡胶制成的无填料橡皮）具有如下的介电特性：

$$P_t = 1.3 \cdot 10^{13} \sim 1.5 \cdot 10^{14} \text{ 欧姆} \cdot \text{厘米},$$

$$P_s = 2.9 \cdot 10^{12} \sim 2.8 \cdot 10^{13} \text{ 欧姆}, \text{ 表面电势}$$

$$I = 465 \sim 1543 \text{ 伏}.$$

降低卡普隆材料的介电性能，可通过向橡胶涂

层组成中加入导电组分（炭黑、石墨）来达到。涂敷导电涂层可使材料的 P_s 降低至 $10^2 \sim 10^3$ 欧姆，而表面电势可降低至10~15伏。导电涂层深度渗透到织物的结构中，促使体积电性质（体积电阻率、击穿电压）显著地降低。采用两面涂敷橡胶涂层的织物，能获得最佳的效果。

将使用温度由20°C提高到80°C，卡普隆橡胶-织物材料的介电特性几乎没有变化。

透气性

以卡普隆为基础的橡胶-织物材料的特征是：其透气和透蒸汽性常数的数值比起原始的橡胶涂层要来得小。橡胶涂层的性质对于渗透性数值的大小有强烈的影响。例如：用89号树脂的水溶液来浸渍卡普隆，可使材料的透气性降低1/3~1/2（表6）。

表6 橡胶涂层和卡普隆橡胶-织物

材料的透气性（根据氢气）

（橡皮中的瓦斯槽法炭黑含量为10体积份）

涂层中的 橡胶类型	透气性常数 $P \cdot 10^3$ (厘米 ³ /厘米 ² ·厘米·秒/大气压)		
	橡胶-织物材料		
	橡胶涂层 未浸渍的	用89号树 脂浸渍过的	
丁钠.....	35.0	18.0	12.0
氯丁.....	6.8	5.8	3.9
丁基橡胶.....	4.7	4.2	3.2

改变橡胶涂层的性质和采用粘附剂浸渍卡普隆（这样会增加织物部件的密着力和提高结构的完整性），能够得到具有所需渗透性数值的材料。这就有可能在制造贮气材料时采用普通橡胶来代替特种聚合物。

由于要制得各种完整度的材料，因此材料的成型方法对于渗透性常数有着本质上的影响。

根据渗透性常数的数值，用各种工艺方法制得的以卡普隆为基础的材料可排列如下：

压延的 > 用胶浆涂胶的 > 压制的

洪洋生譯 邵本延校

Каучук и резина, № 2, (1961) 11

* Перкаль (别卡里布, Percal)是一种类似巴克斯脱的轻薄织物，常用来做女外衣和女用薄短衫(译者注)。

2. 輪胎帘線的疲勞性能研究

一、卡普隆帘線的疲勞性能

A. A. Роговина, B. A. Каргин.

輪胎帘線的使用质量指标之一是它的耐多次重复动力变形的性能，这种变形是輪胎与路面接触滚动时所产生。輪胎在工作时的变形次数以亿万計算。

由于現代汽車和飞机的速度及載重量不断增高，对于汽車和飞机用帘線质量的要求也相应提高，特别是对帘線疲劳强度的增高。虽然如此，直到現在为止，对帘線疲劳性能的研究还是不够，象帘線在多次重复的应力下损坏的原因以及帘線爆破指标的倍数等还没有闡明，根据为数不多的和在許多情况下相互矛盾的資料来看，主要是在于制造帘線的纤维素纤维。評价疲劳对聚酰胺帘線质量影响的資料也几乎没有。

本文中所研究的系卡普隆帘線在动力疲劳过程中性能变化的特征及原因。

試驗方法

帘線的疲劳是在图1, a所示的仪器上进行的，仪器按规定的变形原理进行工作。帘線嵌在夹具中，其中左面的一个夹具与曲拐摆机构相接，并往复运动，第二个夹具与一个齿条刚接合时，这个齿条在重量的作用下可以向右移动，以消除帘線在試驗过程中所形成的松弛現象。齿条向左运动，阻碍制滑器，把它楔住，消除重量的摆动。当帘線断裂时，曲柄馬达自动关闭。仪器是在恒温下操作的；利用接触温度計和溫度調節器保持恒温，其平均溫度为 100°C ，波动范围 $\pm 1.5^{\circ}\text{C}$ 。

为避免可能产生的氧化过程，因而在氮气中进行系統試驗。在仪器的夹具之間，安放着直徑为10毫米的玻璃管，使帘線通过玻璃管进入夹具，压力不太大的氮气不断的进入玻璃管中，并予热到所需要的溫度。氮气分为二步加热，首先氮气由鋼瓶进入用專門的恒温器加热的蛇管中，然后进入位于仪器的恒温装置中的

第二个（玻璃的）蛇管中，这以后通入玻璃管中（图1, б），氮气的进入利用裝在恒温器前面的特列克先略（Дрекель）玻璃瓶加以控制，而玻璃管中的溫度，利用与电位計相連的通入玻璃管中的热电偶加热。

永久变形的生成和帶夹具的齿条的移动，在使試驗過程中帘線的长度不断增大，由于試样在固定的振幅中相对变形的結果，相应伸張逐漸減小，疲劳規則起了变化。为了保持試样的相对变形大致恒定，在試驗過程中，大約在疲劳5,000次以后，将仪器停止，把帘線重新安装一下，再进行試驗。

大家知道，在剛开始的一段时间內，帘線最容易

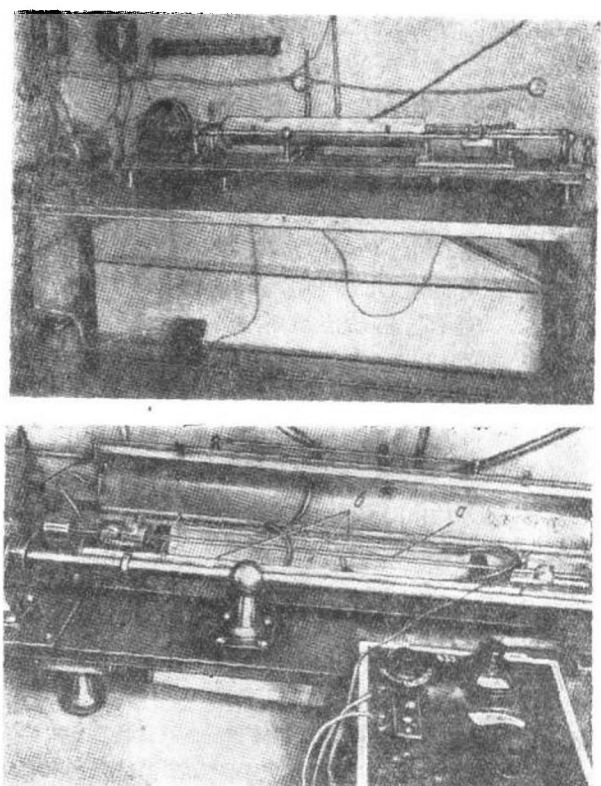


图1 用于帘線疲勞試驗的仪器
a—总图 б—仪器的恒温装置(带有夹具的)器
玻璃管(a)和通入氮气的玻璃蛇管(б)

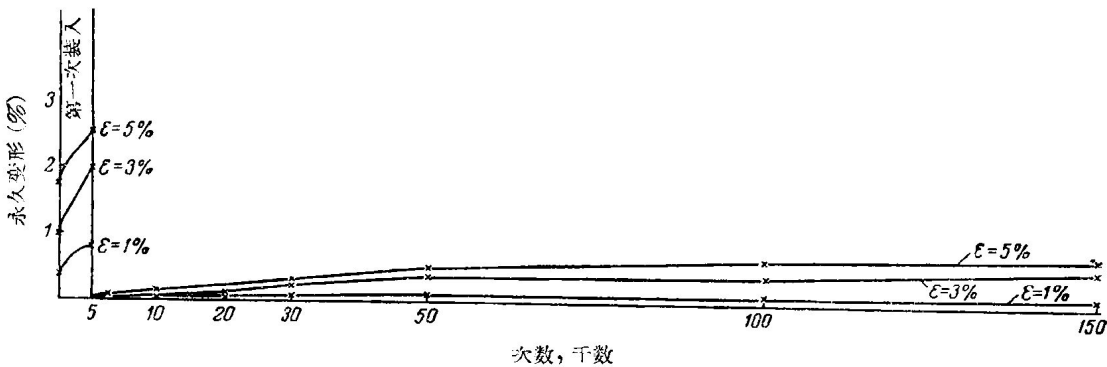


图 2 卡普隆帘线在动力疲劳过程中的伸长动力学

被拉长，然后永久变形的增长显著减弱。因此帘线在第一次装入时有如经受机械调节作用，在调节时要选取永久变形的主要部分，然后帘线严格地按照规定的条件工作。图 2 所示系帘线在试验过程中的伸长动力学，从图 2 看出，如果第一个 5,000 次的永久变形（取决于试验条件）达到百分之几，则在重装以后的永久变形仅仅是这个百分率的一部分而已。

在上述的试验中，动力伸张值 ϵ 的变化由 1 到 5%，静负荷值（周期中的预应力和最低负荷—— P ）——由 150 克到 2 公斤，变形频率 w 由 625 到 1,100 次/分，温度 T ——由 20 到 140°C，次数 n ——由 50,000 到 500,000。

在规定的次数以后，可测定帘线的以及由其中分出的元素纤维的强度和伸长，并测定浓度为 0.5 和 1% 的帘线甲酚溶液的粘度。在测定帘线的断裂指标时的误差不超过 1%，而元素纤维——3.5%。

由于试验要延续几个小时（在 500,000 次时约 8 小时），可能引起帘线的热破坏，因此要补充测定在 100~140° 下以自由状态加热的试样的强度和粘度。

试验结果

第一批试验指出了动力疲劳会使卡普隆帘线的性能发生非常特殊的变化。这些变化表现在以下几方面：

1. 卡普隆帘线在多次重复的动力变形条件下逐渐变硬，以致在弯曲时出现永久变形，使帘线产生一种象浸过浆的特殊状态。在正常条件下，经过放置后，这种硬度会减少些，但弯曲的部位仍旧残留着明显的标记（图 3），并且在线上保留着单个的完全僵直的部分。随着疲劳规则的加剧，这种硬度也更高，以致帘线呈现僵硬的伸张状态（图 4），这些帘线在自由状态时带有蜿蜒曲折的样子（图 4）。为了

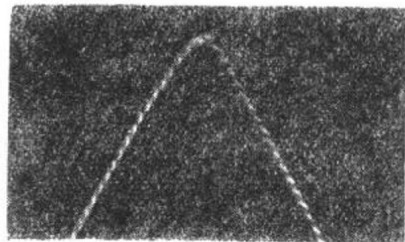


图 3 疲劳弯曲过的卡普隆帘线



图 4 卡普隆帘线
a—原始的 b—疲劳后

使它们伸直，必须加些外力。

在自由状态下经过长期加热的帘线不会出现这种硬度，因此硬度应当看作是多次重复应力作用的结果。如果疲劳在正常的温度下进行的话，那末帘线的硬度很少增加，因此，高温虽然不会引起帘线硬度的提高，但是它在与应力的共同作用下能显著地加快这一过程。

2. 经过疲劳的卡普隆帘线在扯断力试验机上试验时有很特殊的扯断特征：在离开断裂地点很长的一段距离中（图 5），在试样的全部夹持长度中，照例出现个别元素纤维的断裂，断裂的数量随疲劳规则的加剧而显著增加，特别在动力伸张时增长得更多。

在扯断力试验机上扯断以后，帘线的硬度便下降。看来硬度的出现可能是由于帘线表面的外层纤维产生部分熔化的结果，而这种使帘线具有硬度的熔化状外壳也随着外层纤维的扯断而消失。

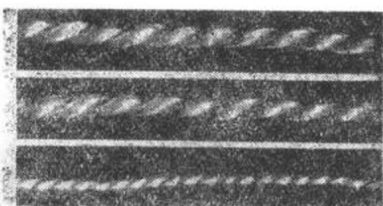


图 5 在扯断力試驗机上扯断以后的卡普隆帘線
a—原始的 b—在予加动力疲劳以后
($n=200,000$ $t=100^{\circ}\text{C}$ $\varepsilon=1\%$)；
B—同上 ($\varepsilon=3\%$)

3. 帘線和它的元素纖維的强度在动力疲劳过程中显著下降，而纖維强度的下降又大大地超过線的强度。强度的下降，以及帘線与元素纖維的强度在相对损失方面的差別均随着疲劳規則的加剧而增长。例如在 $\varepsilon=5\%$ 經过 300,000 次疲劳以后，帘線强度下降約 30% 左右，而元素纖維——大于 50% (图 6)。

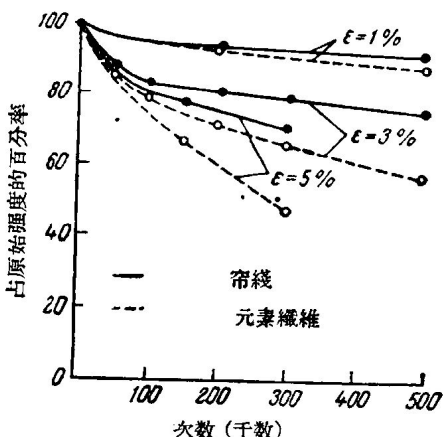


图 6 卡普隆帘線与元素纖維的强度
在疲劳过程中的变化 ($t=100^{\circ}\text{C}$)

在强度下降的同时，帘線的伸长也下降，而且更为显著(图 7, 8)。因此，从图 9 可以看出，帘線的定伸在疲劳过程中有了提高*。

上述帘線性能的变化——硬度的出現、元素纖維不一致的断裂、强度的下降等——这些相互有关的或个别特征的出現，不可避免地引起其它情况的出現。因而按疲劳后帘線的外觀可以判定有关强度的变化：線的硬度愈高，以后在扯断力試驗机上試驗时，不同时均匀断裂的纖維数目愈大，線的强度愈低。

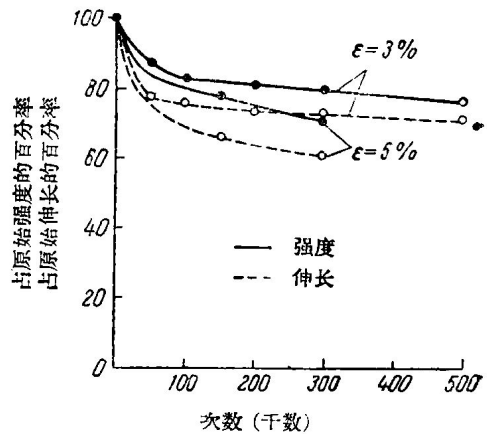


图 7 卡普隆帘線在动力疲劳过程中
扯断指标的变化 ($t=100^{\circ}\text{C}$)

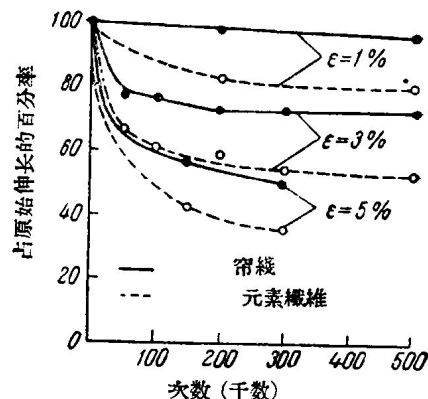


图 8 卡普隆帘線与元素纖維在动力疲劳
过程中扯断伸长的变化 ($t=100^{\circ}$)

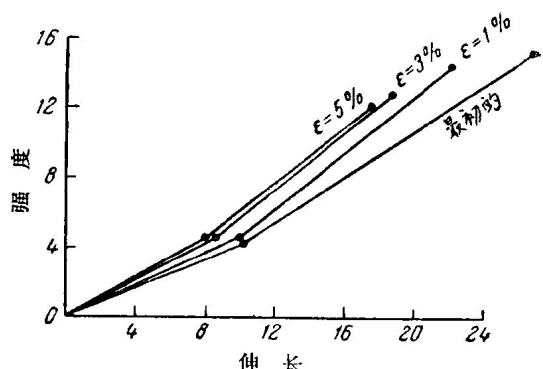


图 9 卡普隆帘線在动力疲劳过程中
的伸張曲綫的变化 ($\omega=625$ 次/分
 $t=100^{\circ}\text{C}$ $n=150,000$)

* 图 9 中的曲綫不是卡普隆帘線的真正的抗強曲綫；它們由三点作成。0 是在 4.5 公斤时的伸長及扯断时的指标。但是这些曲綫显然能表示出定伸变化的特征。

从图 2 可以看出, 由于高弹性性能太小, 在疲劳过程中把线加以拉伸, 卡普隆帘线性能这样显著的变化更为惊人。

上述帘线性能的变化并不是由于帘线热破坏的结果, 因为在自由状态中加热以后, 正象前面指出的, 并不发硬。从伸长值的比较(表 1)中可以看出, 帘线的定伸相反是上升的, 而试样的扯断指标并未变坏(仅在 140°C 下加热 4 小时后帘线的强度下降 5%)。

这些变化也不是由于分子破坏的结果, 因为粘度的降低与相应强度的降低比较起来, 粘度的降低要慢得多, 而且并不显著。

由表 2 看出, 当线的强度降低约 30% 时, 粘度仅减小 3~7%。很显然, 这样小的粘度变化, 不可能是线的强度降低如此大的原因。

表 1 加热对卡普隆帘线指标的影响

处理条件	帘 线			元素纤维	
	强度 (公斤)	伸长 (%) 負荷 4.5 公斤 时	强度 扯断时 (克)	伸长	
				(%)	
原始帘线.....	15.2	11.5	22.7	32.0	27.4
100°C 下加热 9 小时	15.3	11.6	26.7	30.3	28.4
原始帘线.....	15.1	11.2	26.4	25.3	17.9
140°C 下加热 4 小时	14.3	11.7	26.1	24.4	21.0

表 2 卡普隆帘线在动力疲劳过程中强度和粘度的变化

疲 劳 规 则		强 度		比 粘 度	
ϵ (%)	n 千次	t °C	公 斤	0.5% 溶液	1% 溶液
原 始 的	—	—	15.2	100	—
1	500	100	14.0	92	—
2	200	100	12.5	82	—
原 始 的	—	—	15.1	100	0.791
3	150	100	12.5	82	0.786
3	500	100	11.4	75	0.813
3	200	140	11.1	73	0.767
原 始 的	—	—	15.1	100	0.814
5	300	100	10.8	71	0.761

显微镜下的研究*指出: 卡普隆帘线在多次动力变形条件下, 纤维的疵点在疲劳过程中进一步发展, 引起物理机械性能的降低。

在疲劳过的帘线上分离出的元素纤维上, 曾发现特殊的和显著的疵点部分, 纤维群局部地如同剥蚀一样。(图 10)。

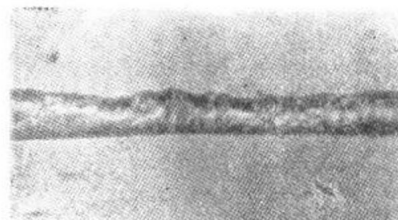


图 10 自疲劳过的卡普隆帘线中分离出的元素纤维的疵点 放大 $\times 400$

这些疵点的长度变化由 0.1 到 0.4 毫米, 有时达到 0.6~0.7 毫米, 但时常在 0.2~0.3 毫米之间。在纤维长度为 18~20 毫米的切片上, 这样的部分计有 1~6 处。它们的总长度占检查用纤维长度的百分之几。

这些疵点部分的损坏深度和总的数量随着线的疲劳程度而变化, 表 3 所载的资料说明疲劳程度与纤维疵点二者之间的关系。

这些疵点是由于横向裂痕发展的结果而形成的。

表 3 纤维的疲劳程度与纤维疵点二者之间的关系

疲 劳 规 则	强 度		疵点部分的总长度占纤维长度的 (%)				
	ϵ (%)	n 千次	t °C	帘线 (公斤)	元素纤维 (克)	总的	其中有大的疵点部分
原始的	—	—	—	15.1	25.3	—	—
3	150	100	12.5	12.5	19	2.9	1.9
3	200	100	12.1	12.1	17.1	2.1	2.0
5	150	100	11.9	11.9	16.6	3.0	2.4
3	200	140	11.1	11.1	15.8	4.0	3.5
5	300	100	10.8	10.8	11.7	5.1	3.3

有时在原始的纤维上已发现有裂痕存在(图 11), 很显著, 当它在塑型和进一步加工时就已经形成了。在动力疲劳进行的过程中, 一方面生成更多数量的新裂痕, 另一方面, 裂痕扩大发展成为大量微疵点, 进而使纤维断裂。图 12~20 所示系卡普隆帘线在动力疲劳过程中裂痕和微疵点在纤维上形成和扩大的各个不同阶段。

* 研究是在空气中进行的, 未应用悬浮液体。每一变度观察标本 20 到 25 个。

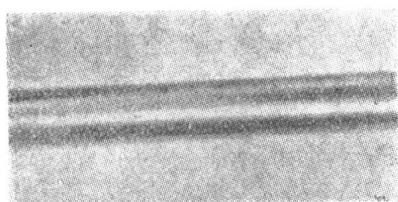


图 11 在卡普隆帘线元素纤维上的裂痕
放大 $\times 400$

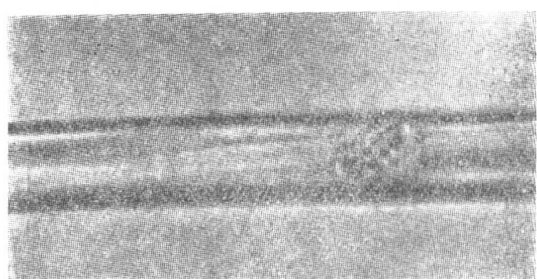


图 16 裂痕的密集 放大 $\times 600$

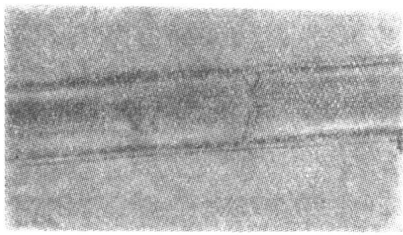


图 12 裂痕萌芽 放大 $\times 600$

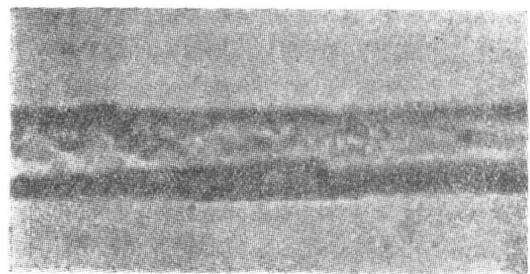


图 17 开始形成疵点部分 放大 $\times 600$

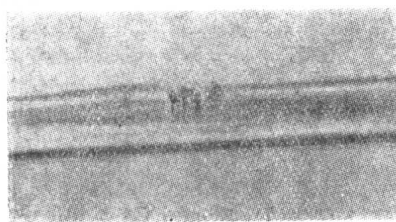


图 13 在动力疲劳过程中裂痕的形成
放大 $\times 600$

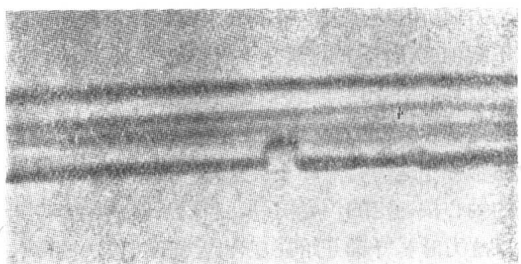


图 18 纤维断裂的开始 放大 $\times 600$

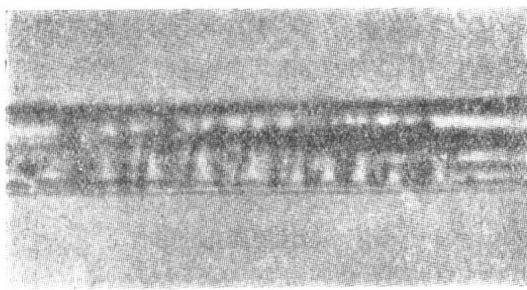


图 14 裂痕的“家族” 放大 $\times 600$

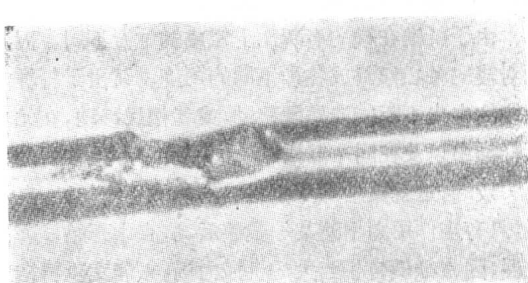


图 19 疵点部分的出现 放大 $\times 600$

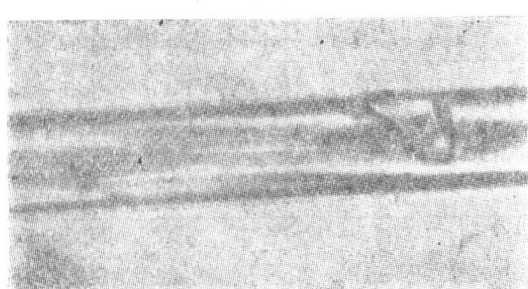


图 15 裂痕的密集 放大 $\times 600$

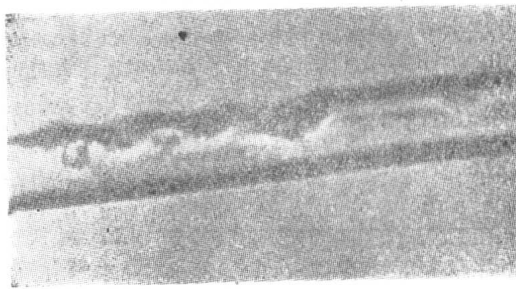


图 20 疵点部分的扩大 放大 $\times 600$

因此卡普隆帘線的动力疲劳过程也就是微疵点的形成和扩大的过程。这样的疲劳历程說明了前面所提到的卡普隆帘線在多次重复的动力变形作用下性能变化的特点。纤维疵点的增长，不可避免地在疲劳过程中引起强力的进一步下降。很自然，元素纤维强度的下降超过了帘线。元素纤维断在最弱的地方，即疵点所在的地方^{*}，而使帘线产生断裂的最弱的地方，是由疵点和纤维的正常部分所組成的。

当帘线在动力試驗时元素纤维断裂的一致性的原因愈来愈明白：断裂时及断裂前在扭曲帘线中所产生应力超过了在元素纤维损坏处的临界应力。纤维在这些地方断裂，有时与线的断裂产生在同一地方；这时个别的纤维可能在几个地方产生裂开。

卡普隆帘线纤维疵点的較易形成及严重的发展，是由結晶聚合物的特性决定的，并且还能由于扭曲帘线中的几何结构而增强。随着結晶聚合物的变形，它本身的結構发生再定向，这个过程是通过原有結晶的破坏，并按作用力的方向才形成新的定向。当动力疲劳时这个过程并沒有止境：作用力在迅速和不断地变化，不允許建立平衡，形成的晶体連續地遭到破坏。由于这样結構的疵点是結晶聚合物的根本特点，所以在动力疲劳过程中势必显著地增长。在扭曲帘线中这一特点必然会加剧。因为元素纤维对线的轴心按一定的角度排列，当沿着线的轴心方向加以拉力时，纤维开始在复合应力下工作：拉伸和切断在这二种相互垂直的力同时作用下，将使晶体的熔点下降及其破坏过程的加速。

由于纤维在線的横断面上組成的位置不同，因而对線的轴心傾斜成各种不同的角度，又由于纤维自線的中央不断的向外圍移动，或者相反移动，在元素纤维中以及在同一纤维的不同部位中产生的力是一致的，这就更增加了原材料内部的不均匀性。自然，只有当作用力增达某一数值后，疵点才开始显著扩展，因为必須有相当大的机械力場，方能发生再結晶。在相当严格的疲劳条件下，即在較大的力較高的温度和較长的时间下，加剧了結構的疵点，不可避免地导致大規模微疵点（纤维破坏的根源）的出現。

綜上所述，特別应当指出，当比較用各种不同的結晶聚合物制成帘线的质量时，必須考慮到在疲劳过程中結構的耐微疵点扩大的稳定性。

負荷愈大，溫度愈高，介质的活潑性愈高，裂口

增长愈快。

除了上述一般性原則以外，还应补充下列意見：

1. 在动力疲劳过程中裂口的增长，主要决定于所加动力的大小。靜負荷对纤维疵点的增长影响不大。从表4看出，增加線的靜应力由150克到2公斤时，对于線和纤维的强力实际上沒有影响。这似乎由于聚酰胺不断的再結晶加速了疵点的发展，这种不断的再結晶过程不是由于靜力作用引起的，而是由于交替的动应力作用于帘线的結果。如果是这样，那末动力疲劳与靜力疲劳的区别在于：当动力疲劳时聚合物不断进行再結晶作用引起大量疵点的形成和同时的扩大，而在靜力疲劳时，疵点的发展决定于材料最不均匀地方的应力的集中程度。

表4 在动力疲劳過程中靜負荷对帘
線強力变化的影响($t=100^\circ$)

疲 劳 規 則		帘 線		元 素 纖 維	
ϵ (%)	負荷 (克)	n (千次)	强度 (公斤)	伸長 (%)	强度 (克)
原 始 的	—	—	15.2	22.7	32.0
1	150	500	14.0	21.6	29.7
1	2,000	500	14.6	21.8	28.1
原 始 的	—	—	15.1	26.4	25.3
2	150	200	12.2	19.4	17.0
2	2,000	200	12.0	16.4	17.5
					8.5

2. 变形频率在625~1,100次/分钟的范围内变化时，实际上并不影响到卡普隆帘线性能的变化（表5），这說明卡普隆帘线的高彈性性能。由于这样，它們扯断指标在变更試驗速度时变化不大。

表5 在动力疲劳過程中變形頻率对
卡普隆帘線性能变化的影响
($\epsilon=3\%$ $P=150$ 克 $t=100^\circ$ $n=150000$)

变 形 频 率 (次/分)	帘 緿		元 素 纖 維	
	强度 (公斤)	伸長 (%)	强度 (克)	伸長 (%)
原 始 的	15.1	26.7	25.3	17.9
625	12.5	18.4	17.1	10.2
1100	12.5	19.2	18.3	11.0

* 不应将元素纤维在疵点处的断裂与紡織纤维，尤其是聚酰胺纤维的断裂混淆起来，后者的特点在于断裂是不均匀的。

3. 提高疲劳温度时，帘线强度的损失增大。但是应当指出，在 $60\sim100^{\circ}\text{C}$ 温度范围内强度的变化不大(图 21)。当继续提高温度至 140°C 时，强度显著下降，部分原因是在这温度下，帘线的热氧裂解作用已经开始(表 1)。在规定的动力拉伸范围内线的伸长随温度的升高而下降(图 22)。

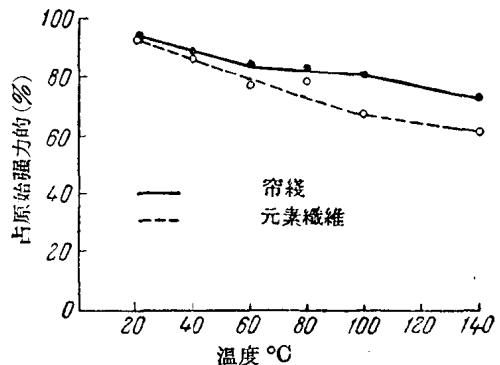


图 21 在动力疲劳过程中温度对卡普隆帘
线和元素纤维强度变化的影响 ($\epsilon=3\%$
 $n=200,000 \omega=1080$ 次/分)

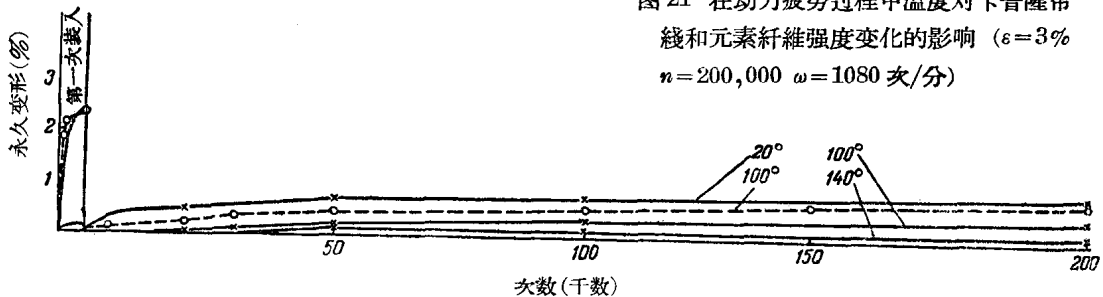


图 22 在动力疲劳过程中温度对卡普隆帘线伸长的影响
($\epsilon=3\% \omega=1080$ 次/分 —— $P=150$ 克 --- $P=2$ 公斤)

4. 表 6 指出了介质对于卡普隆帘线疲劳性能的影响。果然，在惰性气体(氮气)中疲劳时，帘线强度的降低比在空气中少，这种介质的影响对元素纤维的强度表现得特别显著。

因此，氧化过程加速了卡普隆帘线疲劳。

表 6 介质对卡普隆帘线疲劳的影响

($\epsilon=3\% t=100^{\circ}\text{C} n=200000 P=150$ 克)

试 样	帘 线		元 素 纤 维	
	强度(公斤)	伸长(%)	强度(公斤)	伸长(%)
原 始 的	15.1	26.4	25.3	17.9
在 氮 气 中 疲 劳 的	13.1	19.2	21.2	13.0
在 空 气 中 疲 劳 的	12.5	18.8	18.1	12.0

卡普隆帘线在疲劳过程中的逐渐减弱，可以利用帘线强度损失的大小作为疲劳程度的指标。工厂试验时在规定的疲劳条件下通过一定的疲劳次数以后测定帘线强力的损失已经足够了。为了更详细的研究，测定帘线在各种不同疲劳时间下的强力是适宜的，把强力损失与疲劳次数的变化关系作成曲线，从而确定出在多少次疲劳以后，帘线强度减小的百分率。

结 论

本文研究了卡普隆帘线性能在各种不同的动力疲劳规则下的变化。查明了卡普隆帘线的动力疲劳过程是一个横向裂痕形成和扩大的过程，而裂痕是由于损害纤维的大量微疵点发展而形成的。这一过程决定于结晶聚合物的特性——变形时的再结晶作用和结构疵点。并由于捻线的几何结构而增强，当捻线伸长时，元素纤维便处在复位的应力下工作，而元素纤维以及同一纤维不同部位的强度是不一致的。

研究表明，在动力疲劳时的静力伸长值对卡普隆帘线性能的影响是不大的。关于卡普隆帘线各种不同的静力和动力疲劳历程提出下列假设：当动力疲劳时，由于聚合物不断的再结晶，形成大量的疵点，并得到发展；而在静力疲劳时，疵点的扩大，决定于纤维最不均匀地方的应力的集中程度。

氧化过程促进并加剧了卡普隆帘线的疲劳。试验指出，在惰性气体(氮气)介质中，卡普隆帘线的疲劳损失减小。

微疵点的发展引起卡普隆帘线在疲劳过程中逐渐减弱。因此，帘线强力损失的大小是帘线疲劳程度的指标。

在评价用不同的结晶聚合物制成帘线的质量时，必须考虑到它们的结构在疲劳过程中抗微疵点增长的稳定性。

二、粘胶帘线的疲劳性能

上文曾经指出卡普隆帘线的动力疲劳伴随着大量裂痕的形成与增大，这些裂痕发展成粗大的疵点，以致使纤维破坏。本文主要说明，所有纺织线是否有共同类似的机理，及弄清引起粘胶帘线疲劳的其他原因。

试验工作是以成批生产的 14B 粘胶线用上文所述的设备和方法进行的。在帘线疲劳以后，测定了帘线的断裂特点，及从中分出的元素纤维、试样溶液的粘度、双折射值，并进行了显微镜研究。

象前述的试验一样，为了在疲劳过程中使试样的相对变形接近固定，曾经使用了机械调节：在 5000 次以后停止仪器，重新装线并重新试验。在扯断试

验机上试验时接近干燥状态，水份在 1~2%。元素纤维——在正常的条件下放置 24 小时后进行（空气的相对湿度 65%，温度 20°C）。

在 0.5% 和 0.1% 四价碱溶液中进行粘度测定。显微镜研究是在空气中进行的，未使用浸渍液体。光的双折射值是利用埃里加伍斯（Эрингауз）补偿器测定的。

研究表明，粘胶帘线和卡普隆帘线在疲劳过程中的行为存在着很大的区别：

1. 在规定的变形规则下工作时，粘胶帘线的特征是形成很大的永久变形。它的值是卡普隆帘线的永久变形值的数倍（图 1）。

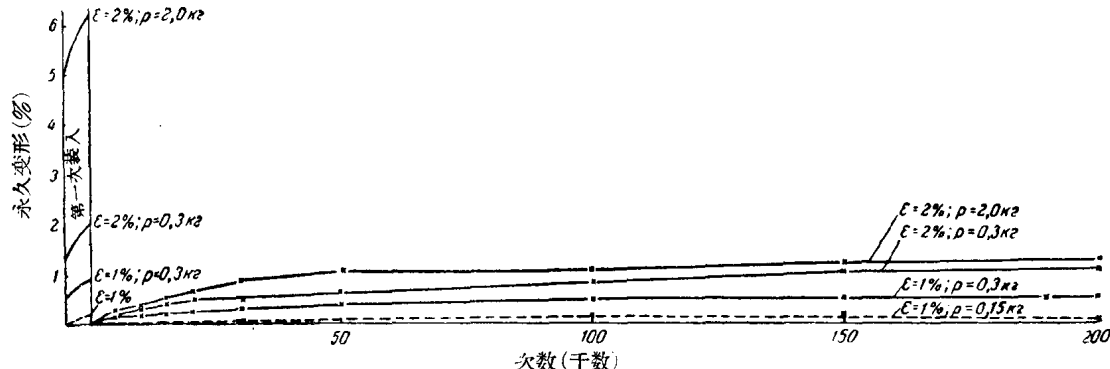


图 1 粘胶帘线（——）与卡普隆帘线（---）在动力疲劳过程中的伸长动力曲线

($t=100^{\circ}\text{C}$, $\omega=1080$ 次/分)

2. 由于粘胶帘线的低弹性（由于这样所以形成较大的永久变形）和较小的扯断伸长，粘胶帘线比卡普隆帘线在更窄的变形范围内工作。这样，如果卡普隆帘线在伸长 5% 下经受几十万次动力疲劳而不损坏，那末，扯断伸长 14% 的粘胶帘线在 2.8% 多次伸长下很快地损坏。这时，仅有个别的线经受得起近 100,000 次的疲劳。增大静负荷时，最大的容许伸长值降低更大。

3. 虽然粘胶帘线的工作变形范围较小，但是与卡普隆帘线不同，疲劳时，在这样的范围内假如强度降低则降低极小。从表 7 中看出，粘胶帘线强度的降低不超过 4%，即接近于试验的误差范围。相反，粘胶帘线元素纤维的强度特别是在疲劳的第一阶段，明显地表示出有提高的趋势。仅在很长的疲劳时间以后（1,000,000 次），元素纤维的强度才下降。粘胶帘线在疲劳过程中扯断伸长的下降（见表 7）与卡普隆帘线伸长下降的程度相同（图 2）。

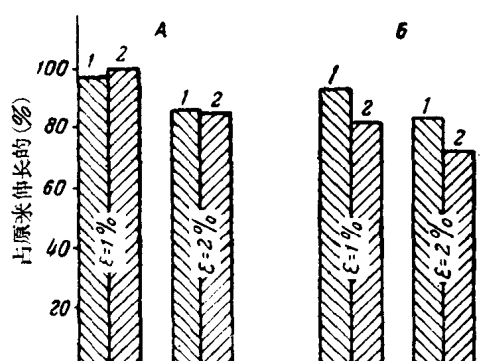


图 2 粘胶帘线和卡普隆帘线在疲劳过程中扯断伸长的变化 ($n=200,000$, $t=100^{\circ}\text{C}$)

A—帘线 B—元素纤维 1—粘胶 2—卡普隆

因此，如果按照强度的下降来评价疲劳性能，那末粘胶帘线在较小的变形范围内有更高的耐疲劳稳定性（图 3）。假如考虑到具有高定伸强力的粘胶帘线具有与卡普隆帘线相同的绝对强度，这种稳定性

表 7 粘胶帘线与卡普隆帘线在动力疲劳过程中性能的变化 ($t=100^{\circ}\text{C}$)

試 樣 編 號	疲 勞 規 程		帘 綫		元 素 纖 維		帘綫的比粘度*			
	ϵ %	P (公斤)	n (千次)	强 度 (公斤)	扯断伸长 (%)	强 度 (克)	扯断伸长 (%)	光 射 双 折 值	0.5% 溶 液	0.1% 溶 液
粘 胶 帘 线										
—	原 始 的			15.2	12.6	6.9	11.7	—	0.97	—
2	加 热 9 小时后			15.1	13.0	6.9	10.2	—	1.02	—
3	1 0.3 500			15.3	12.2	7.6	9.6	—	0.94	—
—	原 始 的			15.0	13.7	5.3	10.0	0.0190	—	0.160
15	加 热 18 小时后			15.1	14.3	5.2	9.5	—	—	—
10	2 0.5 100			14.9	12.3	5.4	8.8	—	—	—
9	2 0.5 200			14.5	12.1	5.3	9.4	—	—	—
8	2 0.5 500			14.5	12.0	5.2	8.2	0.0211	—	0.141
12	2 0.5 1000			14.3	12.0	4.8	7.2	0.0222	—	0.126
7	2 2.0 200**			14.4	11.1	5.7	8.6	0.0226	—	0.138
14	2.8 0.5 100**			13.3	10.6	6.0	9.9	0.0231	—	0.139
11	2.2 2.0 87***			—	—	5.6	8.7	0.0225	—	—
卡 普 隆 帘 线										
—	原 始 的			15.1	26.4	25.3	17.9	0.0629	0.814	—
8	3 0.3 300			11.9	19.4	16.6	9.9	0.0631	—	—
12	3 2.0 200			12.0	16.4	17.5	8.5	0.0600	—	—
23	5 0.3 300			10.8	16.3	11.7	7.7	0.0634	0.761	—

* 粘胶帘线的粘度系在四价碱溶液中测定，卡普隆帘线系在苯甲酚中测定。

** 在该种疲劳规程下仅有几根线经受得起上述疲劳次数。

*** 至断裂时的平均次数。

就更为突出。它可以在较大的负荷即较小的强度安全倍数下工作。

值，需加力 3 公斤。如果帘线的扯断强度为 15 公斤，那末卡普隆帘线的安全倍数为 15，而粘胶帘线——总共只有 5 倍。自然，当提高温度和变形速度时，这些数值将是另一些数值。但是它们之间的相互比例关系看来，在本质上，无变化。

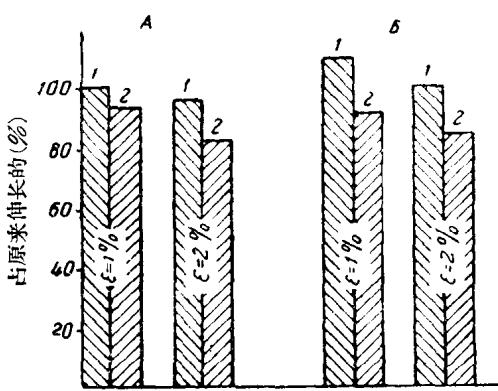


图 3 粘胶帘线和卡普隆帘线在疲劳过程中强度的变化 ($n=200,000, t=100^{\circ}\text{C}$)

A—帘线 B—元素纤维 1—粘胶 2—卡普隆

图 4 系粘胶帘线和卡普隆帘线在强力试验机上试验时的伸长曲线，从图中看出使卡普隆帘线伸长 2%，需加负荷 1 公斤；使粘胶帘线达到同样的伸长

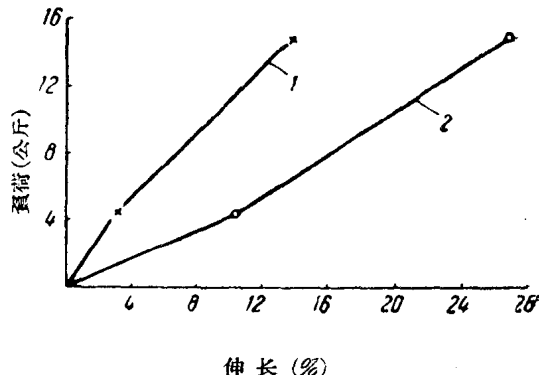


图 4 粘胶帘线和卡普隆帘线的伸长曲线

($\epsilon=1\sim2\%, t=20^{\circ}\text{C}$)

1—粘胶 2—卡普隆

由此，近年来在文献中看到的关于用超强力粘胶帘线制成的轮胎与用尼龙帘线制成的轮胎相对比，前者具有更高的耐久性。诚然，在坏路面上变形较大的情况下工作时，粘胶帘线轮胎很快就易损坏，可是尼龙帘线在这方面的优越性，是无可争辩的。当轮胎在好的路面上使用，也就是在轮胎变形不大的路面上使用时，粘胶帘线抗张指标若有降低，那它的降低也极小，可是尼龙帘线则出现线的连续缓慢弱化现象。

随着单位强度的提高（即提高帘线纤维的强度）粘胶帘线的耐疲劳性能也可大大提高。当然，提高帘线纤维的强度，将使帘线的粗度减小并因此增加了帘布的密度。随着线粗度的减小，帘线弯曲所产生的应力也减小。增加帘线密度时，静力的以及线的总负荷也减小。由于这样，强度的安全倍数有了增加，也正由于这样的结果，在帘线工作变形范围的强度有了提高。

由于提高了粘胶纤维分子结构的定向程度，因而也提高了元素纤维在疲劳过程中的强度。从表中看出，粘胶帘线元素纤维在疲劳过程中光的双折射有了增加，而卡普隆帘线元素纤维光的双折射实际上没有变化，在疲劳过程中，这种在粘胶帘线和卡普隆帘线行为之间的区别，基本上可用它们分子结构之间的差别来说明。

在柔弱分子链的结晶聚合物中，纤维在负重时产生定向过程在纤维负重减轻时被周期性定向力消失过程代替。因此，分子结构定向的平均程度实际上并无变化。这种连续的互换调节过程和分子结构的破坏，是纤维疵点形成、发展的主要因素，并使纤维减弱。

带有刚性分子链聚合物的（例如纤维素）定向力难以消失，且试样在短时间内容去荷重时也来不及进行，或只部分地消失定向力。因此带有刚性链聚合物的张开过程占优势，并提高了分子链的定向程度。

假如提高定向程度是唯一的过程，那末纤维在疲劳时的强度不断地提高。但是，与定向过程同时并列的还有一个在纤维中进行着分子量逐渐减小的过程（见表7），这一过程是因在机械应力作用下分子链的断裂所致。从表中看出，粘胶帘线溶液的粘度在疲劳过程中是下降的，指出了它的聚合度的下降，在较小的内力作用下、在个别的分子中较大应力的形成足够使分子断裂。这是因为在微区中的应力分布显著不均，和局部范围的应力局限化之故，这种

应力的不均匀性是由高聚物材料的本性所决定，因为这种材料是由柔性的，紊乱的各种长度和形状的链型分子所构成。在疲劳过程中，粘胶帘线强度的变化是两种对立过程相互作用的结果。一种是因纤维定向程度的提高而引起的增强过程，另一种是因分子量的减小而引起的减弱过程。从表中看出，两种过程进行愈强烈，动力拉伸和静负荷下的疲劳次数愈多。

在疲劳的第一阶段，纤维的分子量降低（其特征为粘度的降低）不大，对它的强度并无影响。只有在一个很长的工作时间以后（根据我们的试验——在100万次以后）才显著的降低。这时，纤维的粘度，大约降低16%，强度降低9%。就在这一阶段出现纤维疵点的标志——个别的出现损坏，但这种损坏很少遇到，（从35个试验的纤维样品中，发现损坏的仅有二个）因此，不是纤维强度降低的主要原因。粘胶纤维疵点的特征与卡普隆不同：——如果在卡普隆帘布上是部分纤维剥蚀，那末粘胶纤维清晰地出现明显的原纤维裂开（图5）。

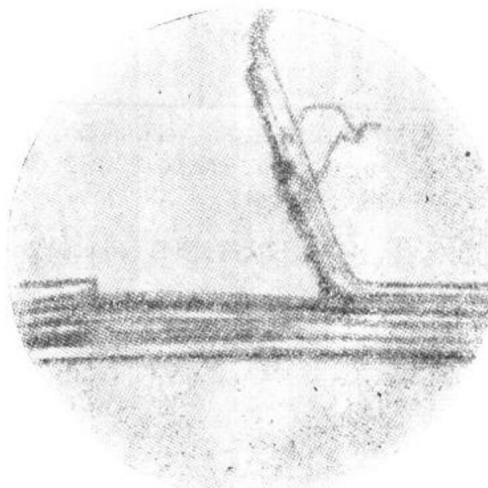


图5 粘胶帘线的元素纤维在动力疲劳过程中的损伤 ($\epsilon=2\%$, $P=0.5$ 公斤, $t=100^\circ\text{C}$, $n=1,000,000$, $\omega=1080$ 次/分)

如果帘线的损坏开始于疲劳的第一阶段，那末从损坏的帘线中选出的纤维，其特征是强度上升。

从表7中看出，试样7和14的纤维强度（工作部分将近损坏）比试样的原始纤维强度超过8~14%，从损坏的线中选出的试样11的纤维强度比试样的原始纤维强度大6%。

如果卡普隆帘线元素纤维的弱化是由于物理过程（纤维疵点的发展）引起，那末粘胶帘线纤维的弱

化是由于化学过程(分子鏈的斷裂)而引起的。

帘綫強度與纖維強度的變化不是經常相關的，從表7中看出帘綫試樣12和7的強度實際上相同。雖然試樣12的元素纖維強度降低，相反地當元素纖維的強度大大地提高時，試樣14出現帘綫的強度顯著降低。

在綫和組成綫的纖維強度之間的變化不存在相互關係，說明綫的強度不僅決定於組成綫的纖維強度，也決定於綫和纖維工作時的同時性。帘綫的強力除了決定於元素纖維性能的特性和變程度的分子過程以外，還決定於組成綫元素的位移有關的宏觀過程。

由於在疲勞過程中拉伸的結果，帘綫的強度應當增加。這種增加是由於綫的捻度和緊密度的降低所引起的。但是蘇聯粘胶帘綫的缺點是捻股的性能不均勻、股在綫中的伸張不均勻。大家知道，粘胶帘綫在試驗時，照例是按股分開斷裂(圖6a)：開始是其中的一股被拉斷，然後是其餘幾股斷裂，往往其中的一股在綫斷裂以後部分地被保持著。(圖6b)類似斷裂也表示著疲勞損壞的特徵。在多次重複的較小變形和力的作用下，使帘綫平坦均勻。但是在大的負荷和變形下各股帘綫在伸張時其不均勻性加劇了，這種帘綫在試驗時其特徵為強度下降。顯然，這可以被試樣14(見表7)綫的強度下降所說明，雖然，它的元素纖維的強度是顯著地上升的。

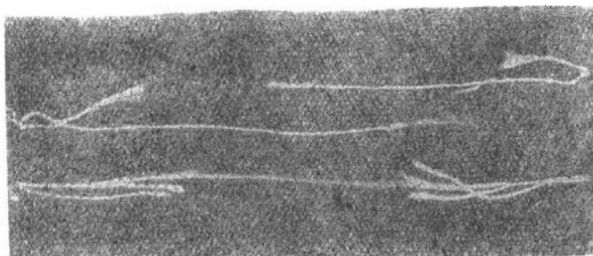


图 6

由上述得出結論，提高粘胶帘綫質量的條件之一，是在纖維的塑型過程中和由纖維加工為帘綫和帘布的過程中嚴格控制綫的拉伸。

但是在大變形的範圍內，粘胶帘綫不可能長時間的工作，這不是估計它的耐疲勞性的指標。就是在小變形的區域內，甚至在長時間疲勞時帘綫的強化，超過纖維弱化，由於這樣，如表中所見，帘綫的強度降低較小。實際上，粘胶帘綫很少工作到那樣的階段，即綫的弱化引起它的疲勞損壞。大家知道，在那樣的情況下，當粘胶帘綫的扯斷指標超過某一必須的最小限度時，在輪胎的實際使用過程中，甚至在

保證的行駛里程以後，它的強度照例並不降低。

大多數情況下，粘胶帘綫在疲勞過程中的損壞是由於它的彈性性能和伸長率的連續降低而開始的。由於拉伸帘綫達到一定的數值所需的應力逐漸地增大到一定的疲勞程度，以至帘綫斷裂。這就加劇了疲勞過程中分子鏈的拉直，帶來了元素纖維中內應力的增大。促使它們逐漸地加劇工作規則時的斷裂。

當按照指定的負荷條件工作時，可以觀察到類似的但是發展得更緩慢的現象。雖然在這種情況下，外加應力值是一個常數，但由於逐漸拉伸的結果，綫的斷面不斷減小，因而有效應力逐步增大到使帘綫斷裂。

空心輪胎在按照混合規程(如規定的負荷以及規定的變形)進行工作時，決定於路面的性質、結構和其它一些因素，特別是對於粘胶帘綫，由於比較低的伸長和較低彈性在規定變形條件下工作是最危險的。因此，由粘胶帘綫製的輪胎，行駛時遇到障礙物最易損壞。

在疲勞過程中伸長率的附加損失更增加了這一危險，因為粘胶帘綫失去變形到所需的變形值能力時將在變形時斷裂。所以，如果卡普隆帘綫的疲勞指標是強力的降低，那麼粘胶帘綫的疲勞指標是扯斷伸長的降低。將來隨著足夠的統計資料的積累，可能在大量測定粘胶帘綫疲勞程度時，決定於在一定疲勞規則下一定疲勞次數後永久變形值的測定。

a

結 論

1. 由於粘胶帘綫的彈性低，扯斷伸長小，它的變形範圍比卡普隆帘綫更狹窄。但是粘胶帘綫可在變形工作範圍內用比卡普隆小的安全系數工作。提高帘綫纖維強度，還可以增加粘胶帘綫這一範圍的強度。

2. 當粘胶帘綫動力疲勞時，產生兩種相反的過程：即纖維分子結構的定向程度的提高，促使強度的增大與分子量的減小，引起纖維弱化疲勞次數、動力拉伸和靜負荷數值愈大時，則兩種過程進行愈強烈。這兩種過程的相互作用，決定著粘胶帘綫元素纖維強度的變化。在疲勞的第一階段，這一種過程占優勢由於這樣，元素纖維的強度出現明顯提高的趨勢。第二種過程只有在很長的疲勞時間以後才達到顯著的數值。顯然，這一機理，對所有具有剛性分子鏈的聚合物是共同的。